H ドーピングによる In2O3 系透明導電膜の弾性率低下

Reduction in Elasticity of In₂O₃-based Transparent Conductive Films by H Doping 工学院大 °(M2)木菱 完太, 山寺 真理, 小林 翔, 鷹野 一朗, 相川 慎也

Kogakuin Univ., Kanta Kibishi, Shinri Yamadera, Tsubasa Kobayashi,

Ichiro Takano, Shinya Aikawa

E-mail: aikawa@cc.kogakuin.ac.jp

次世代のエネルギー・情報デバイスに向けて、常温プロセス可能な高透明でフレキシブルな導電膜が求められている。従来の ITO は、結晶性の材料であるため弾性率が高く、変形の際に粒界でクラックが発生する問題がある 1)。無秩序なアモルファス構造は、結合長や結合角がランダムであるため応力緩和が期待でき、弾性率を低減させることが可能である 2)。そのため、完全にアモルファスで室温加工可能な透明導電酸化物が強く求められてきた。 \ln_2O_3 ベースの材料では、小イオン半径元素が \ln と置換することで格子収縮が起こり、電子軌道の重なりを増加させるとともに、格子を歪ませる 3)。小イオン半径元素は、電子散乱確率を減少させるためキャリア移動度が向上する 4 0.さらに、アモルファス性の高い薄膜の作製が可能となる 3 2.このような背景に基づき、我々は B ドープ \ln_2O_3 (\ln 0)を対象として研究を進めてきた。成膜条件を最適化した結果、ITO に匹敵する透明性、抵抗率を有し、柔軟性に優れることが分かったが、抵抗率、柔軟性についてはさらなる向上が必要である。そこで、柔軟性向上の手段として H ドーピングに着目した。H は格子間サイトに混入することで \ln 0 と結合し、 \ln 0 の結合長および結合角を変化させ、格子緩和を生じさせる 6 0.このことから、アモルファス性の高い薄膜の作製が可能であり、弾性率の低減が期待できる。

本研究では、B 含有 In_2O_3 薄膜への H ドーピングによる弾性率低減を目的とする. ここでは、H 濃度を固定した Ar/H_2 混合ガスを用いているため、薄膜中の H ドーピングの濃度を変化させるため、成膜圧力を変化させることで水素分圧を変化させ、その依存性を調べた.

Hドープ IBO (IBO:H)は、RFマグネトロンスパッタリングを用いて成膜を行った。Hドーピングには H 濃度が固定である Ar/H_2 (3%)ガスを用いた。Hドーピング濃度の依存性評価のため、成膜圧力を変化させることで水素分圧を変化させた。B の導入は、B 粒(純度 99.999%)を用いたコスパッタリング法で行った。比較のため、Hをドープしていない IBO (Ar のみで成膜)も同様に作製した。機械的柔軟性は、ナノインデ

ンテーション試験による弾性率, X 線反射率法 (XRR)による膜密度, X 線光電子分光法(XPS)で評価した. 各評価における膜厚は, ナノインデンテーション試験として $200~\rm nm$, XRR として $200~\rm nm$, XPS として $100~\rm nm$ に調整した.

Fig. 1 に成膜圧力における IBO:H および IBO の XRR スペクトルおよびフィッティングデータを示す. Table. 1 に成膜圧力における IBO:H および IBO の弾性率, Fig. 1 のフィッティングデータより 得られた膜密度, XPS における O 1s 軌道全体のピークに対する酸素空孔のピーク面積比(Ov/O 1s)を示す. Table. 1 より, H ドープによる弾性率の減少が確認された. これは膜の低密度化が要因であると考えられる 7 . そこで XRR による膜密度を比較したところ, 水素分圧が高いほど膜密度は低い値を示した. これは弾性率の結果と矛盾しない. 膜密度が低下した理由は水素の還元作用による酸素空孔の増加が起因すると考えられる 8 .

以上の結果より, H ドーピングは膜の低密度化に寄与し, 弾性率を減少させることが示唆された.

- 1) S. Jung et al., Thin Solid Films. 550, 1, 435-443 (2014).
- 2) S. Alexander et al., Phys. Rep. 296, 2-4, 65-236 (1998).
- 3) N. Mitoma et al., Appl. Phys. Lett. 109, 22, 221903 (2016).
- 4) N. Mitoma *et al.*, Appl. Phys. Lett. 106, 4, 042106 (2015).5) D. B. Buchholz *et al.*, Chem. Mater. 26, 18, 5401-5411
- 6) C. G. Van de Walle., Phys. Rev. Lett. 85, 5, 1012 (2000). 7) K. Zeng *et al.*, Thin Solid Films. 443, 60–65 (2003).
- 8) L. Álvarez-Fraga *et al.*, Appl. Surf. Sci. 344, 217-222 (2015).

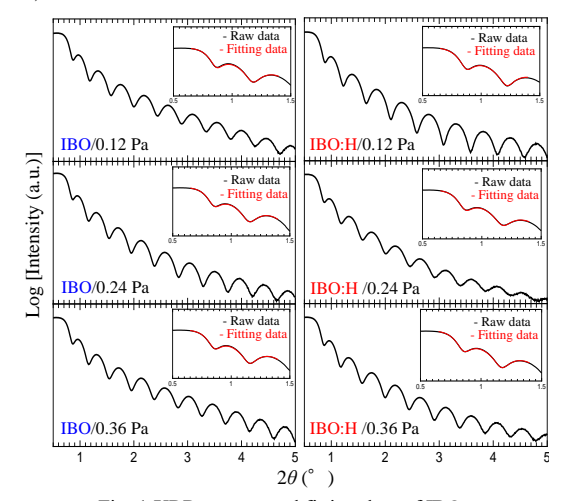


Fig. 1 XRR spectra and fitting data of IBO and IBO:H at deposition pressure.

Table. 1 Elastic modulus, density and XPS O 1s spectrum

of 1BO and 1BO.11 at deposition pressure.				
Sample		Elastic	Density	O _V /O 1s
		modulus	(g/cm^3)	(%)
		(GPa)		
IBO	0.12Pa	228	7.06	13.4
	0.24 Pa	223	6.95	19.5
	0.36 Pa	226	7.00	16.8
ІВО:Н	0.12 Pa	183	6.89	27.8
	0.24 Pa	182	6.87	31.2
	0.36 Pa	180	6.85	32.8